

# CLFV via scalar mediator in Deep-inelastic lepton- nucleon scattering

清裕一郎 順天堂大学

2107.10840 [hep-ph], YK, M. Takeuchi(Osaka),  
Y. Uesaka(Kyusyu Sangyo Univ.),  
and M. Yamanaka(Osaka)

# CLFV模型の探索

## CLFVの発見はNewPhysicsの存在を立証する

- CLFV@Decays:

$\tau$  や  $\mu$  の稀崩壊の分岐比に上限

- CLFV探索@ep collider

- 稀崩壊で探索できないCLFV相互作用を探索

- ビーム強度×核子密度でイベント数を稼げる

Model (independent), SMEFT Analysis: Gninenko, et al.(18), Sher, et al. (04), Liao, et al.(16), Husek, et al.(21), Cirigliano et al.(21), Antusch et al. (20).

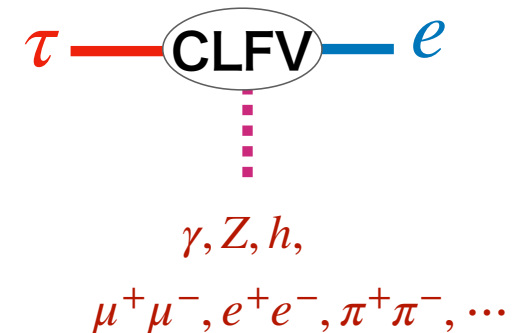
レプトクォーク・サーチ@HERA H1 Collaboration(07),

Susy CLFV DIS: Kanemura-Kuno-Kuze-Ota(05)

**Higgs CLFV DIS: Takeuchi-Uesaka-Yamanaka(17)**

- この発表では、上記のTakeuchi, et al. の解析を発展させてレプトン核子散乱における  $\mathcal{L} = \bar{\tau}e\bar{q}q$  型のCLFVを同定するための理論解析を行う

process	bound
$\mu \rightarrow e\gamma$	$4.2 \times 10^{-13}$
$\mu \rightarrow 3e$	$1 \times 10^{-12}$
$\mu \rightarrow e$ conversion	$7 \times 10^{-13}$
$\tau \rightarrow e\gamma$	$3.3 \times 10^{-8}$
$\tau \rightarrow \mu\gamma$	$4.4 \times 10^{-8}$
$\tau \rightarrow 3e$	$2.7 \times 10^{-8}$
$\tau \rightarrow 3\mu$	$2.1 \times 10^{-8}$
$\tau^- \rightarrow e^- \pi^+ \pi^-$	$2.3 \times 10^{-8}$
$\tau^- \rightarrow \mu^- \pi^+ \pi^-$	$2.1 \times 10^{-8}$
$h \rightarrow \mu e$	$6.1 \times 10^{-5}$
$h \rightarrow \tau e$	$4.7 \times 10^{-3}$
$h \rightarrow \tau \mu$	$2.5 \times 10^{-3}$



# ヘビークォークに強く結合するスカラーモデル

## Model Lagrangian

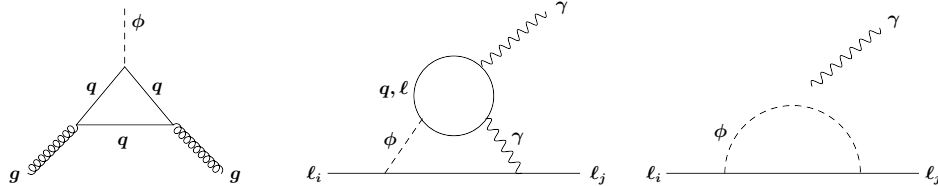
- Lepton sector (CLFV)

$$\mathcal{L}_\phi = - \sum_{i \neq j} \rho_{ij}^\phi \bar{\ell}_j P_L \ell_i \phi + \text{h.c.}$$

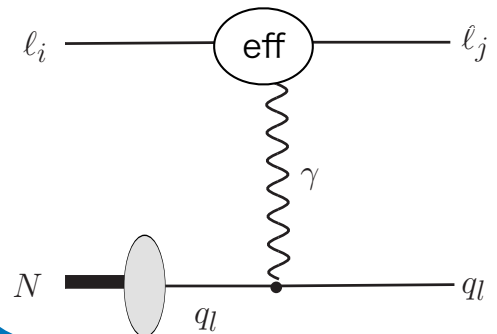
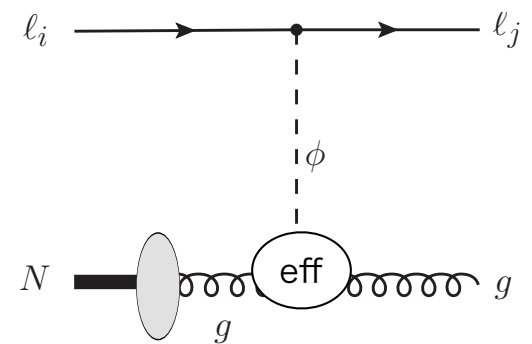
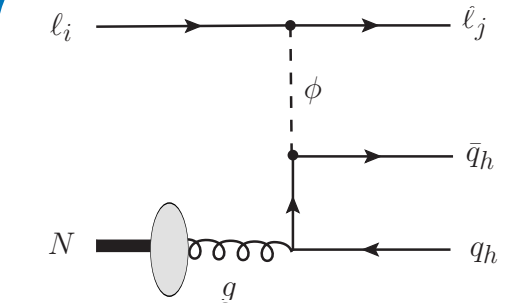
- Quark sector (diagonal coupling)

$$\mathcal{L}_\phi = - \sum_q \rho_{qq}^\phi \bar{q} q \phi \quad \begin{array}{l} \text{ヘビークォーク} \\ \text{強く結合} \leftrightarrow \rho_{qq}^\phi \propto y_q \end{array}$$

- Loop induced  $\mathcal{L}_{\text{eff}}^\phi$

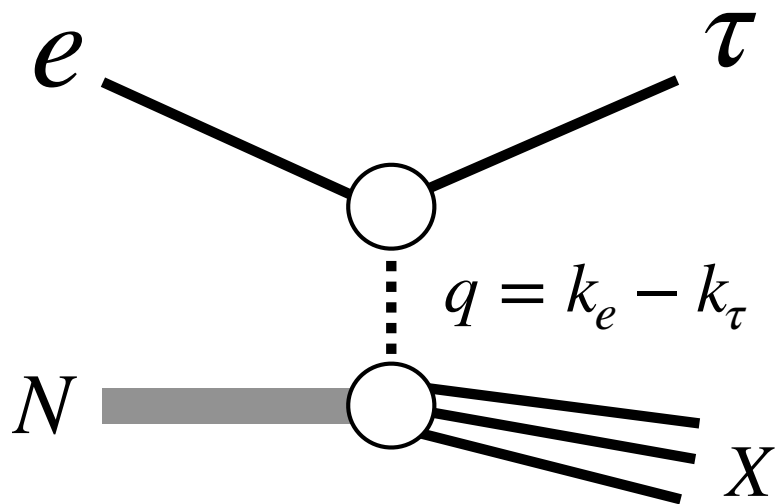


## DIS subprocess



# CLFV@レプトン核子散乱

$$\frac{d^2\sigma}{dx dQ^2}(eN \rightarrow \tau N) = \frac{Q^2}{16\pi(xs)^2} \frac{L_\phi(Q^2) F_\phi(x, Q^2)}{(Q^2 + m_\phi^2)^2}$$



レプトン部分:  $L_\phi$

ハドロン部分:  $F_\phi$  (構造関数)

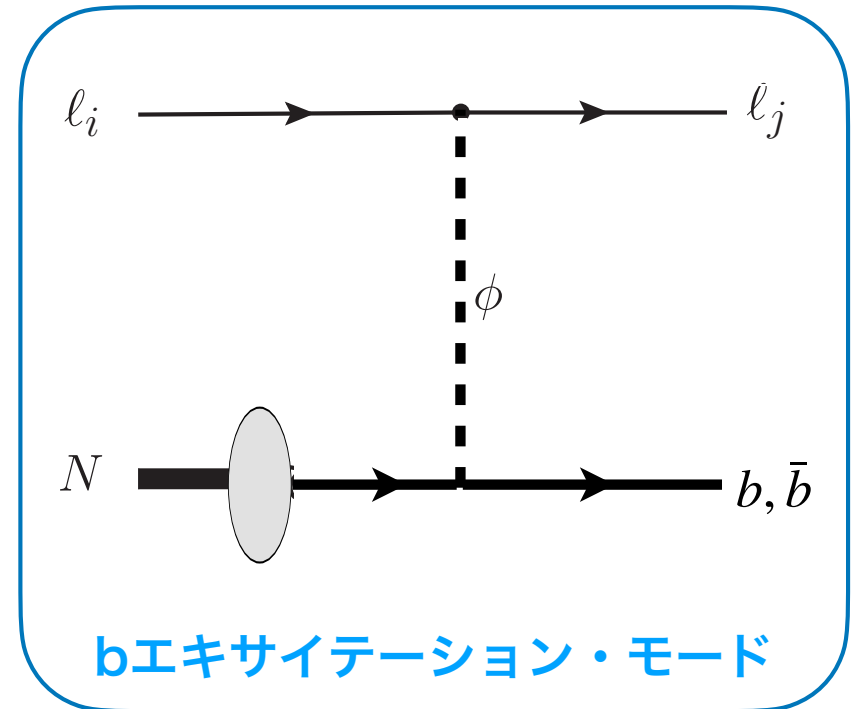
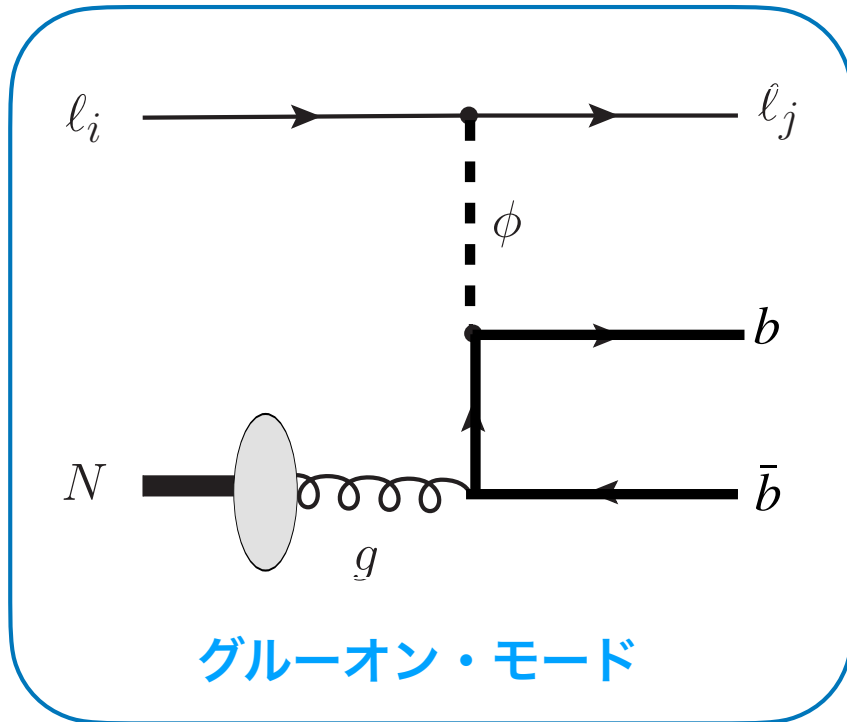
$$\frac{\text{\#event}}{\text{year}} \sim 6 \times 10^8 \times \left( \frac{\sigma}{1\text{fb}} \right)$$

e-intensity =  $10^{22}/\text{year}$

target mass =  $100\text{g}/\text{cm}^3$

$$Q^2 = -q^2, \quad x = \frac{P \cdot q}{P \cdot k_e}$$

今回のトーク：ヘビー・クォークに強く結合するCLFVスカラー相互作用, 特に  $eN \rightarrow \tau b\bar{b}$  の計算手法について報告する。  
 $b \leftrightarrow c$  でチャーム生成も同様に計算可能。



## ● Questions

1. ヘビークォーク質量( $\Leftrightarrow$ 湯川結合定数)の取り扱いはどうする？
2. 核子中(PDF)にヘビークォークが存在するのか？

➡ ACOT-scheme: Aivazis-Collins-Olness-Tung(1994)

# ACOT scheme (物理描像)

1) 小さなfactorization scale  $\mu_f \simeq Q \leq \mathcal{O}(m_q)$  において、ヘビークォークがデカップルした定ネエネルギー有効理論がある

$\mathcal{L}(n_f = 4; q = u, d, s, c)$ : 核子中にヘビー・クォークは存在しないので、ヘビークォークはhard scatteringで生成される(図1)

3)  $\mu_f \simeq Q \gg m_q$  では、ヘビークォークもzero-mass的にQCD radiationを介してlight-quark/gluonと混合(図2)

4) ヘビークォーク質量に起因する大きな対数補正  $\alpha_s \ln(Q^2/m_q^2)$  (collinear singularity) を、足し上げるスキームとして、ヘビークォークPDFを導入(図3): 導入されたヘビークォークPDFは  $Q^2 \gg m_q^2$  でDGLAP方程式に従い発展する。

$\mathcal{L}(n_f = 5; q = u, d, s, c, b)$  が理論

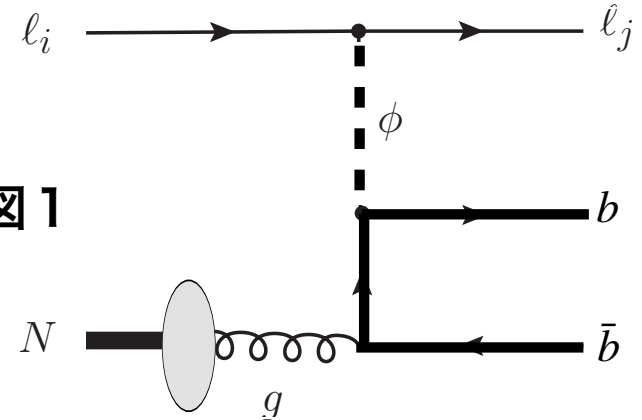


図1

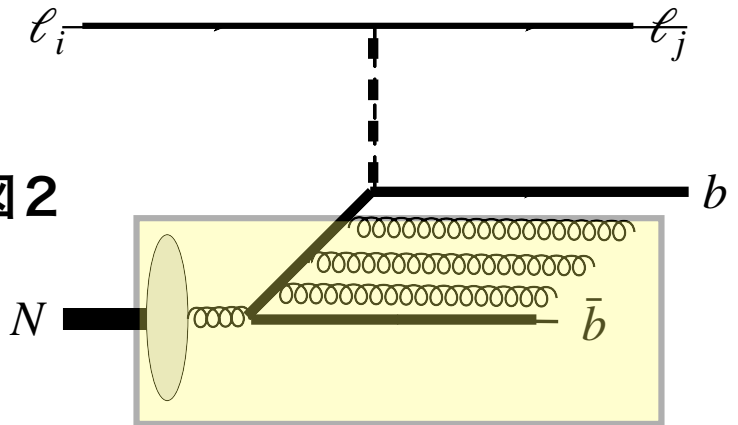


図2

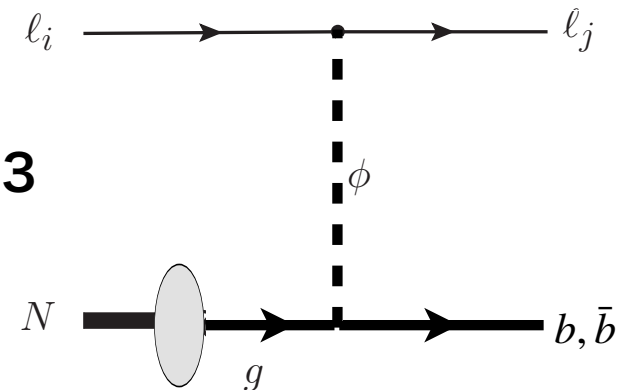


図3

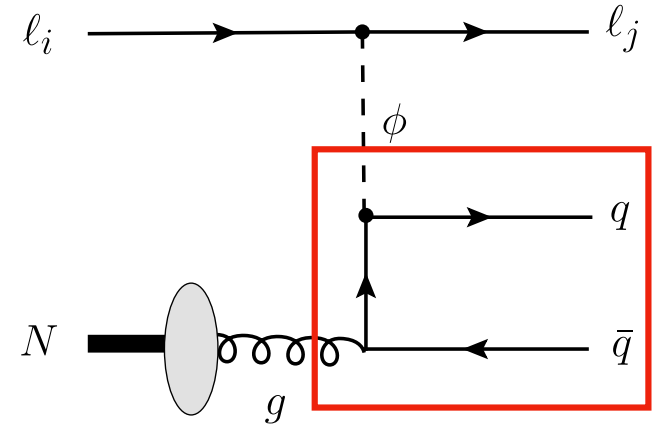
# Heavy quark production via $g \rightarrow qq$

$$F^M(x, Q^2) = \int_0^1 \frac{d\xi}{\xi} C_g^M \left( \frac{x}{\xi}, \frac{Q^2}{m_q^2} \right) f_{g/N}(x, \mu_f^2)$$

$$C_g^M \left( \frac{x}{\xi}, \frac{Q^2}{m_q^2} \right) = \frac{\alpha_s T_F}{2\pi} \left\{ A + B \ln \frac{1+\beta}{1-\beta} \right\} \Theta(w^2 - 4m_q^2)$$

$$m_q \rightarrow 0 \rightarrow \left( \frac{\alpha_s}{2\pi} \right) \ln \frac{Q^2}{m_q^2} \left\{ T_F \left[ \left( \frac{x}{\xi} \right)^2 + \left( 1 - \frac{x}{\xi} \right)^2 \right] \right\}$$

$g \rightarrow q$  の splitting function  $P_{qg}(x/\xi)$

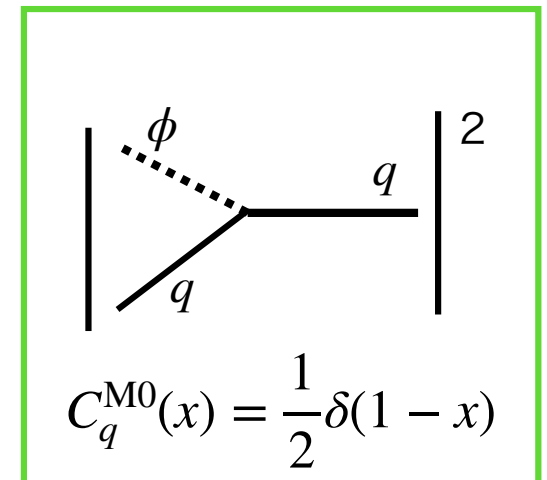


$$\left( \beta = \sqrt{1 - \frac{4m_q^2}{s_{qq}}} \right)$$

高エネルギー極限(=massless limit)の構造

$$F^M(x, Q^2) = C_g^M(x) \otimes f_{g/N}(x)$$

$$\rightarrow C_q^{M0}(x) \otimes \left[ \left( \frac{\alpha_s}{2\pi} \right) \ln \left( \frac{Q^2}{m_q^2} \right) P_{qg}(x) \otimes f_{g/N}(x, Q^2) \right]$$



# PDF evolution

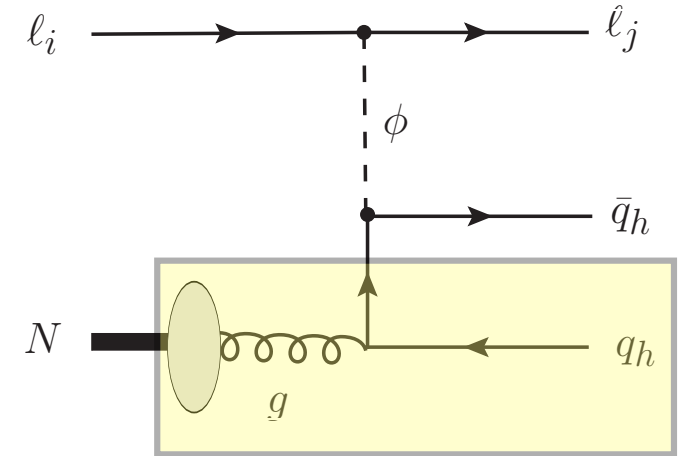
$$q = f_{q/N}$$

$$g = f_{g/N}$$

## DGLAP方程式

$$\frac{d}{d \ln(Q^2)} \begin{pmatrix} q \\ g \end{pmatrix} = \frac{\alpha_s}{2\pi} \begin{pmatrix} P_{qq} & P_{qg} \\ P_{gq} & P_{gg} \end{pmatrix} \otimes \begin{pmatrix} q \\ g \end{pmatrix}$$

$$q(x, Q^2) = q(x, m_q^2) + \frac{\alpha_s}{2\pi} \ln \frac{Q^2}{m_q^2} \left\{ P_{qq} \otimes q + P_{qg} \otimes g \right\}$$

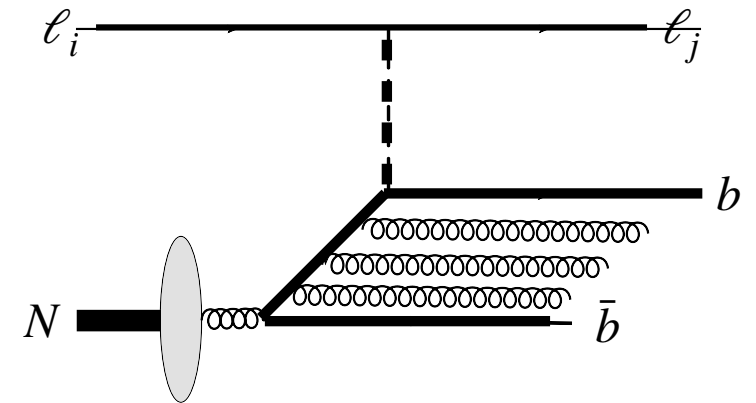


## 高エネルギー極限(=massless limit)の構造

$$F^M(x, Q^2) = C_g^M(x) \otimes f_{g/N}(x)$$

$$\longrightarrow C_q^{M0}(x) \otimes \left[ \left( \frac{\alpha_s}{2\pi} \right) \ln \left( \frac{Q^2}{m_q^2} \right) P_{qg}(x) \otimes f_{g/N}(x, Q^2) \right]$$

$$= C_q^{M0}(x) \otimes f_{q/N}$$







# 構造関数の振る舞い

$$F_{\phi}^{\text{SACOT-}\chi}(x, Q^2) \equiv F_{\phi}^{\text{M}}(x, Q^2) + [F_{\phi}^{\text{ZM-}\chi}(x, Q^2) - F_{\phi}^{\text{sub-}\chi}(x, Q^2)]$$

ACOTは、 $Q \sim m_q$ におけるMスキームと $Q \gg m_q$ のZMスキームを内挿するスキーム

FM: ヘビー・クォクの質量効果を含むMassiveスキーム

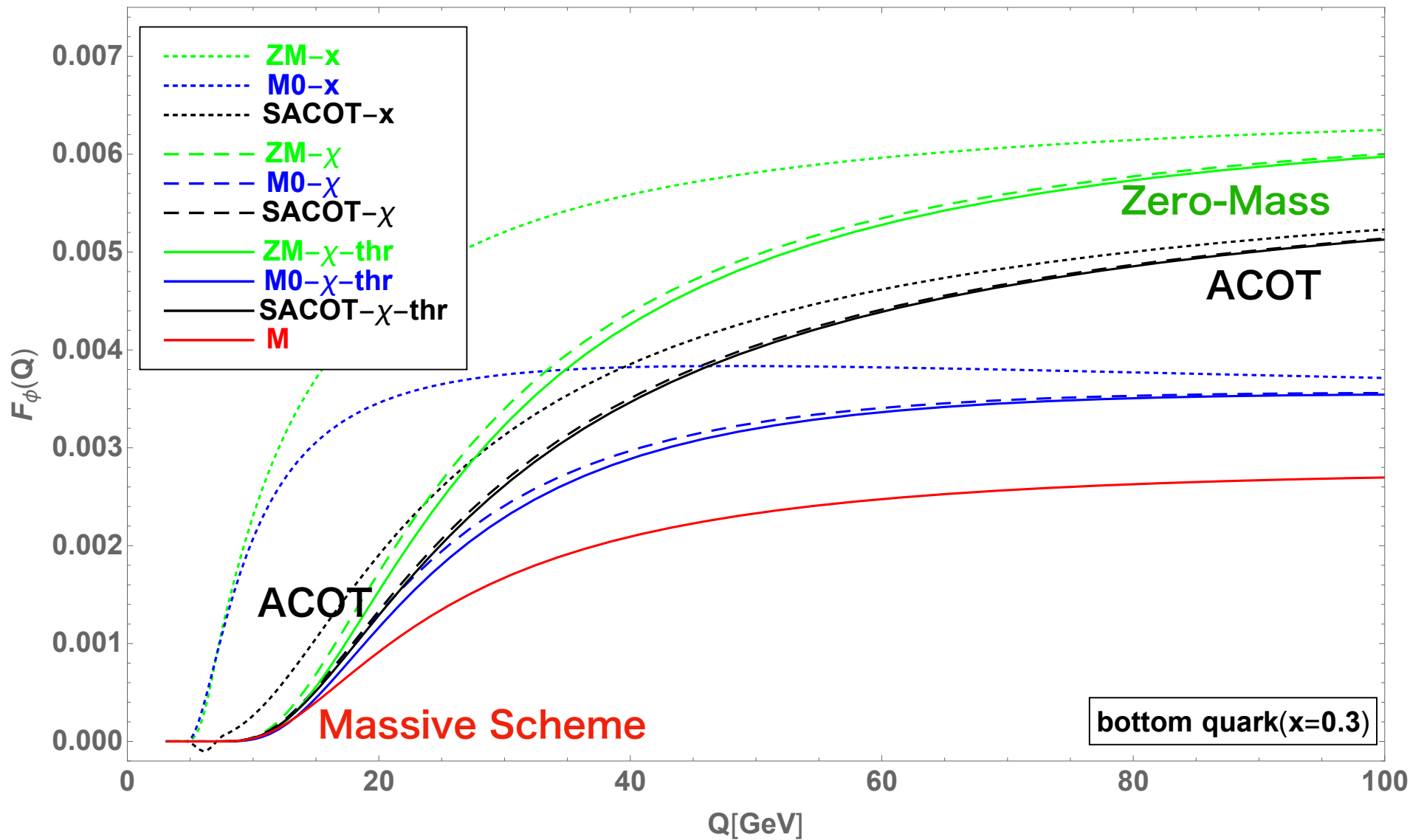
→ 閾値付近  $Q^2 \simeq m_q^2$  の振る舞いを正しく記述する ; LO  $\sim O(\alpha_s)$

FZM: Zero-Massスキーム: ZM計算だが、DGLAPのexact解を使って質量発散対数を足し上げる ; LL  $\sim O(\alpha_s L)^n$

→ 高エネルギー  $Q^2 \gg m_q^2$  (質量0極限)を正しく記述する

Fsub: subtraction項

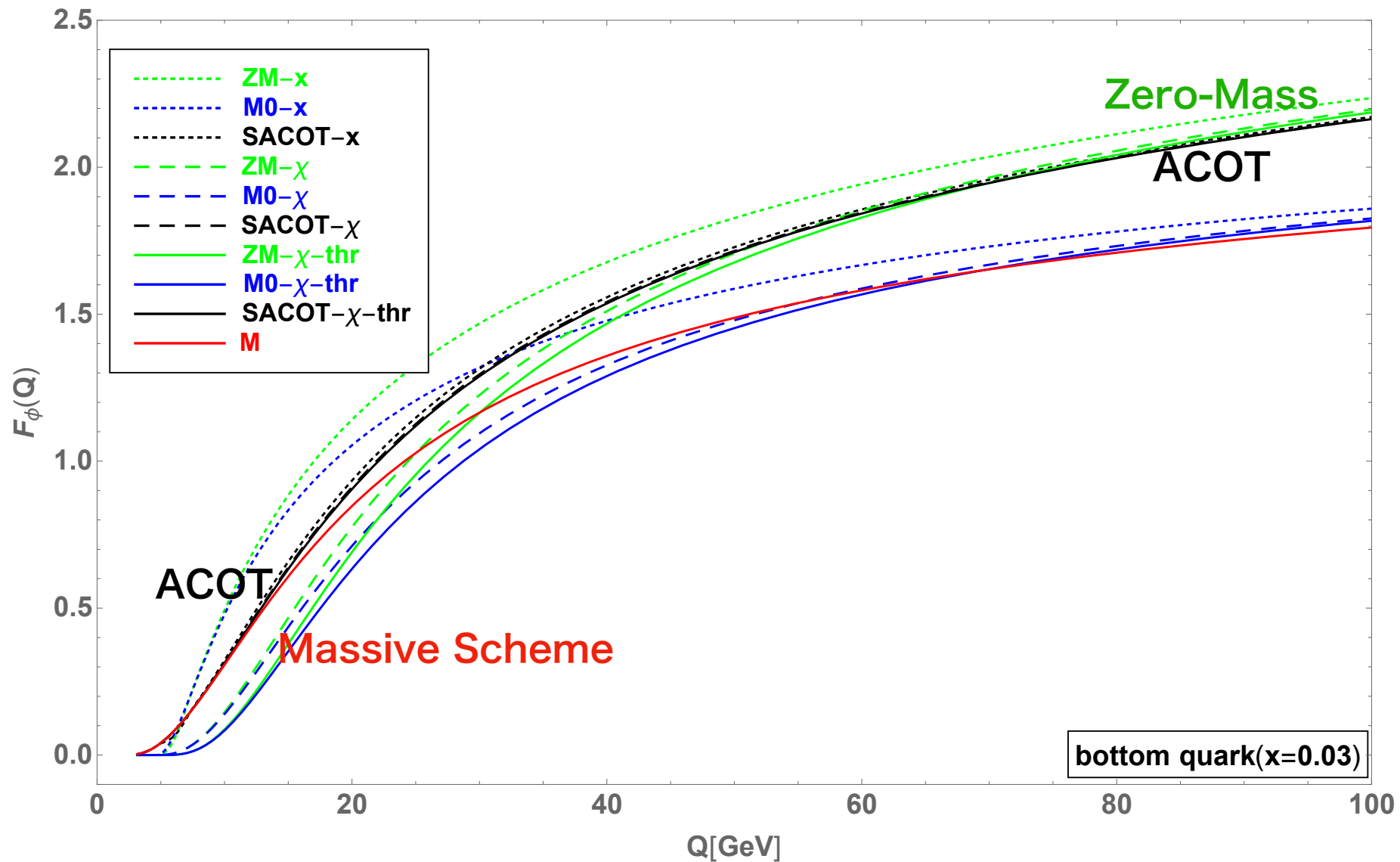
→ Massive とZM スキームの重複するログ項を摂動の各オーダーで引き算する ; LO  $\sim O(\alpha_s)$



**Massive Scheme**  
 $Q \simeq m_q$

**ACOT**

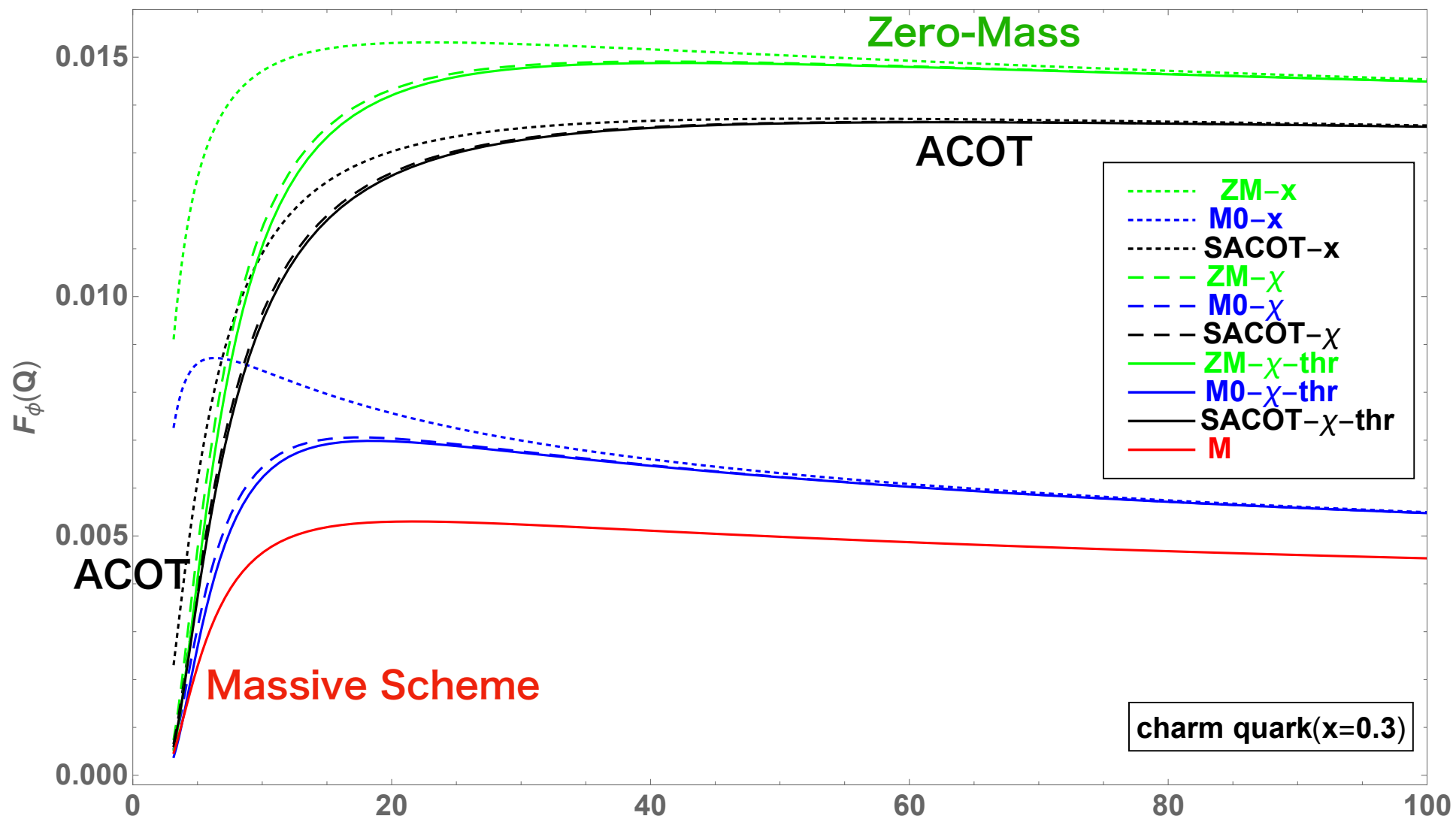
**ZeroMass Scheme**  
 $Q \gg m_q$



**Massive Scheme**  
 $Q \simeq m_q$

ACOT

**ZeroMass Scheme**  
 $Q \gg m_q$



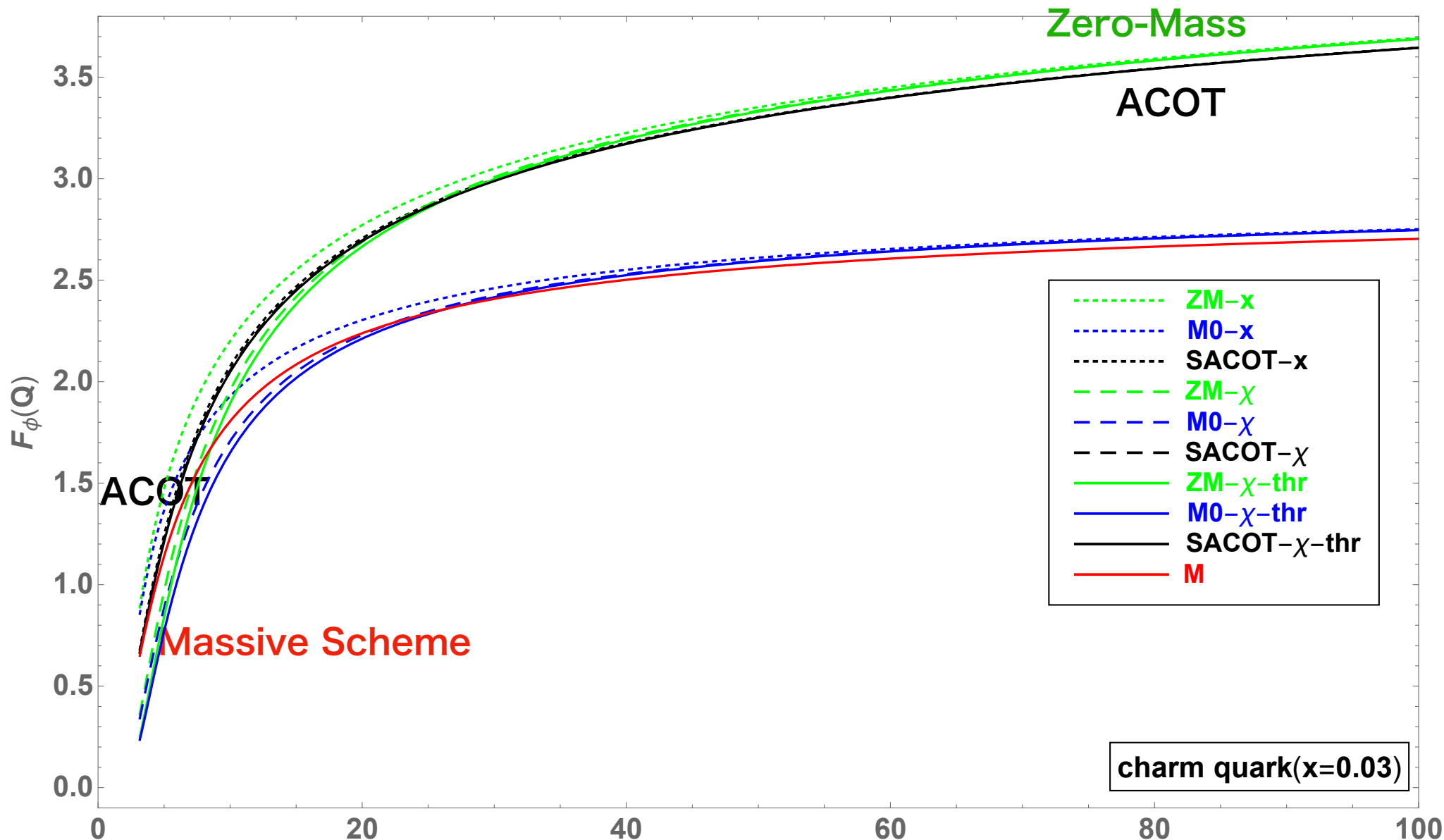
Massive Scheme

$$Q \simeq m_q$$

ACOT

ZeroMass Scheme

$$Q \gg m_q$$



Massive Scheme

$$Q \simeq m_q$$

Q[GeV]

ACOT

ZeroMass Scheme

$$Q \gg m_q$$

# 断面積とACOTスキーム

$$\frac{d\sigma}{dQ} = \frac{1}{m_\phi^4} W_\phi(m_\phi^2, Q^2) \widetilde{M}_\phi(s, Q^2)$$

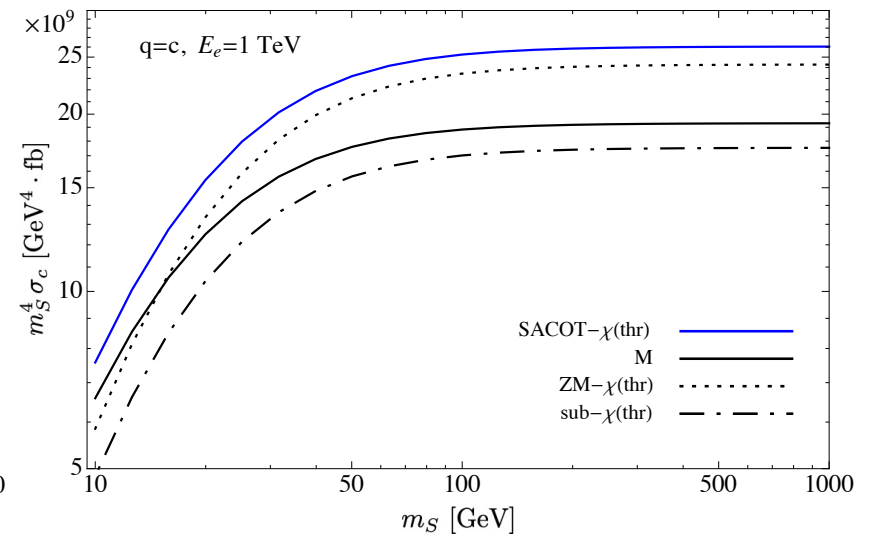
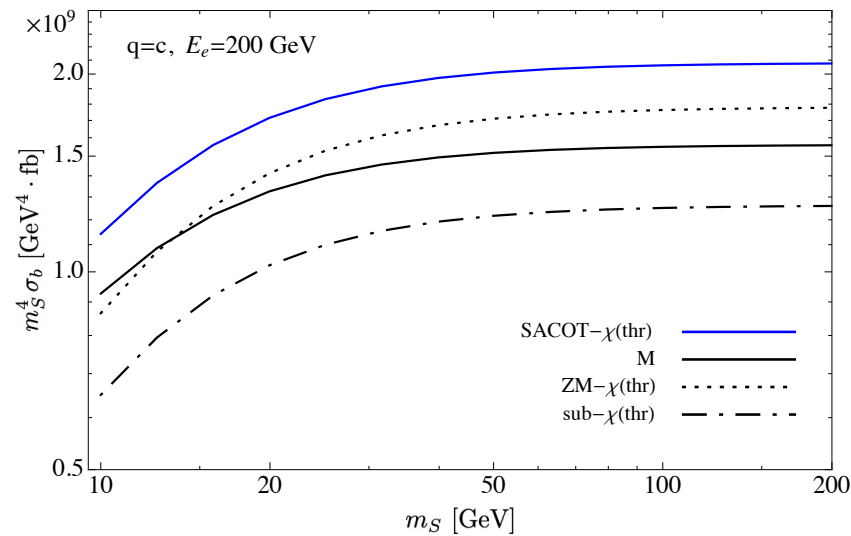
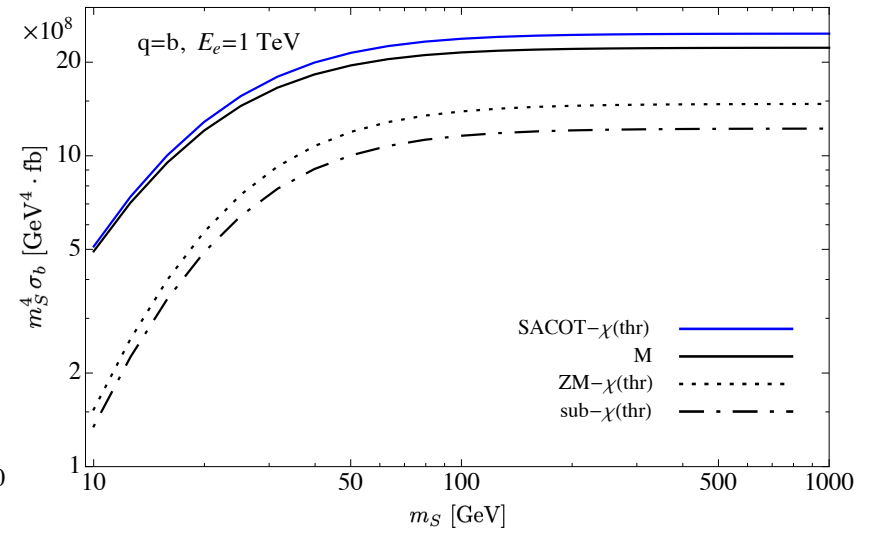
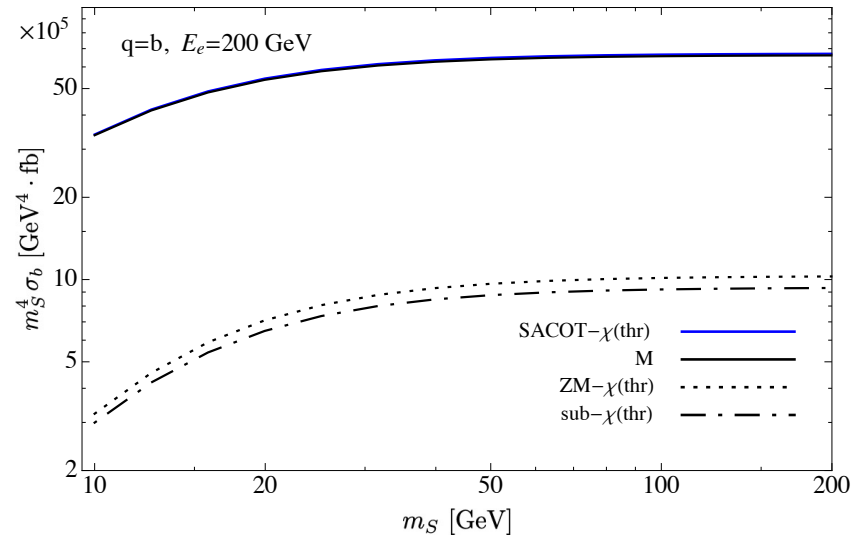
- CLFV mediator質量の依存性を決めるWeighting factor

$$W_\phi(m_\phi^2, Q^2) = \left( \frac{m_\phi^2}{Q^2 + m_\phi^2} \right)^2 \quad (Q^2 \geq m_\phi^2 \text{ をカットオフする})$$

- QCDのダイナミックスの寄与を決める逆モーメント関数

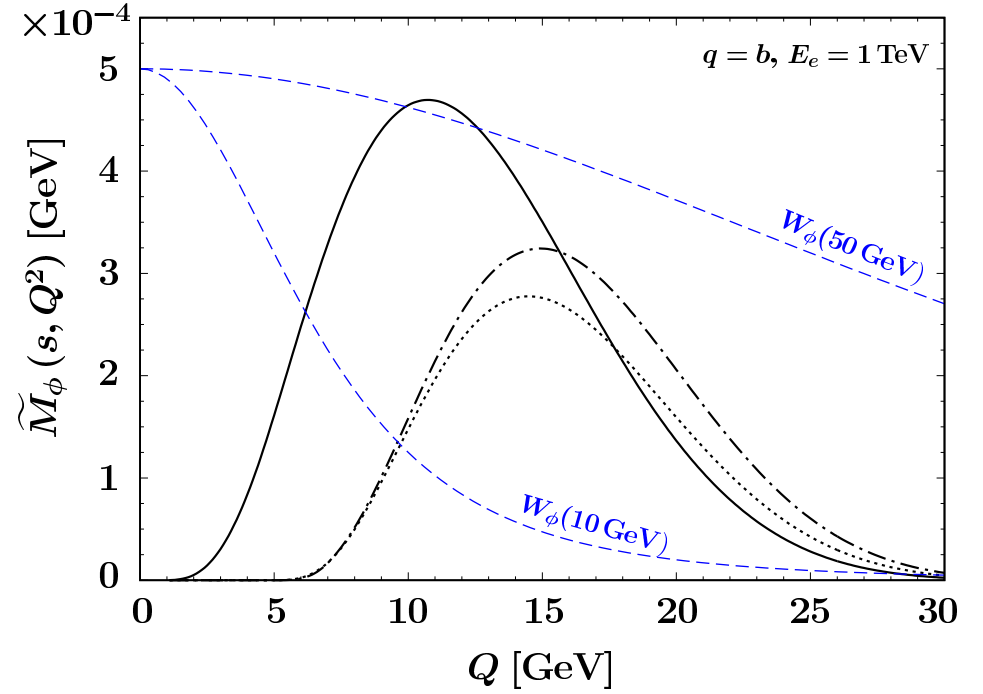
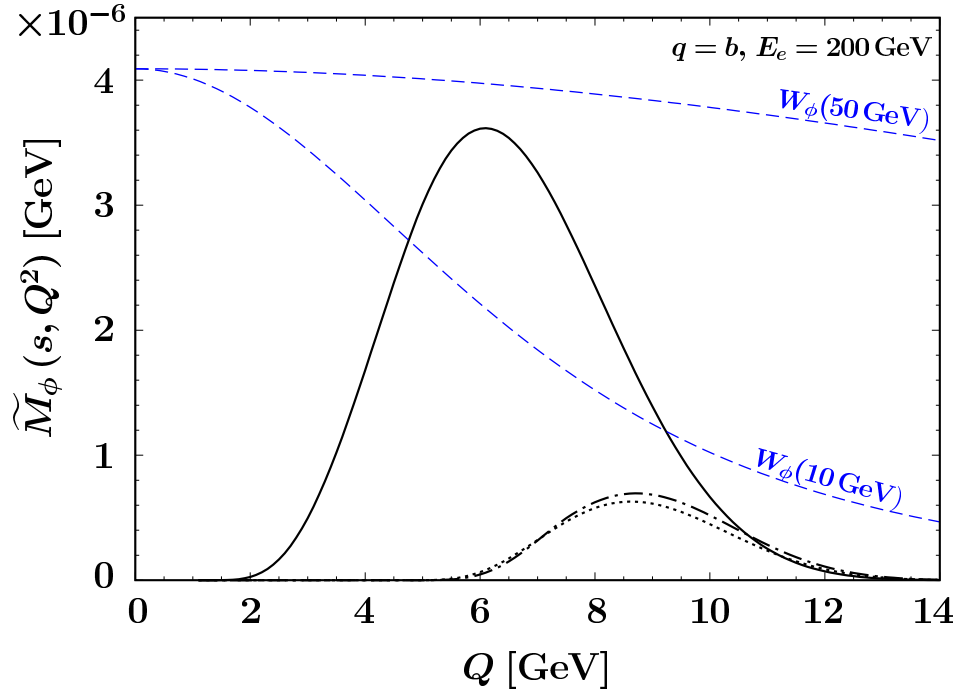
$$\widetilde{M}_\phi(s, Q^2) = \frac{Q^3(Q^2 + m_\tau^2)}{8\pi s^2} \int \frac{dx}{x^2} F_\phi(x, Q^2)$$

# 断面積のスカラー質量依存性





# 断面積公式

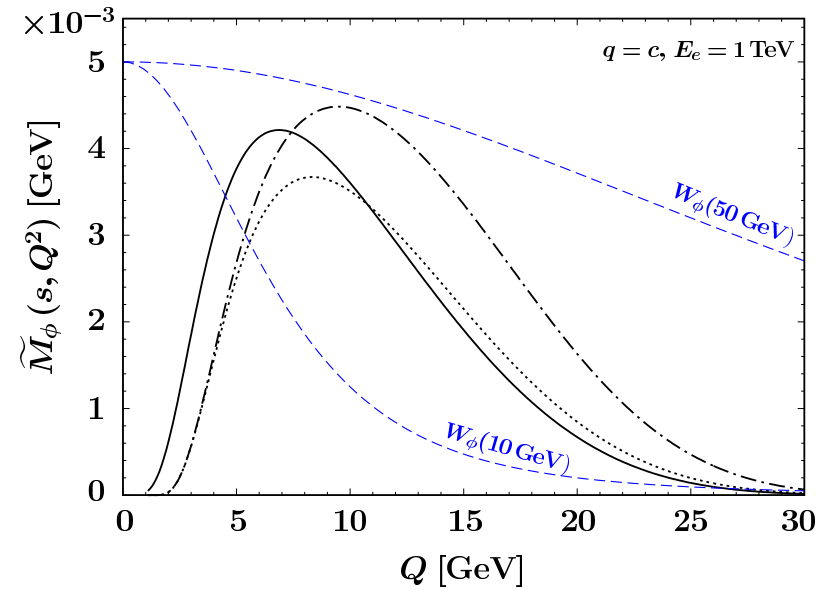
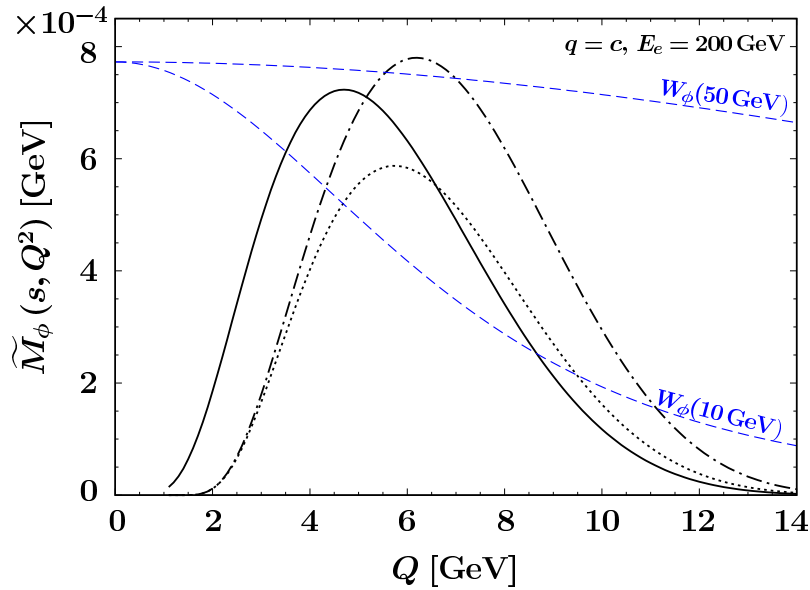
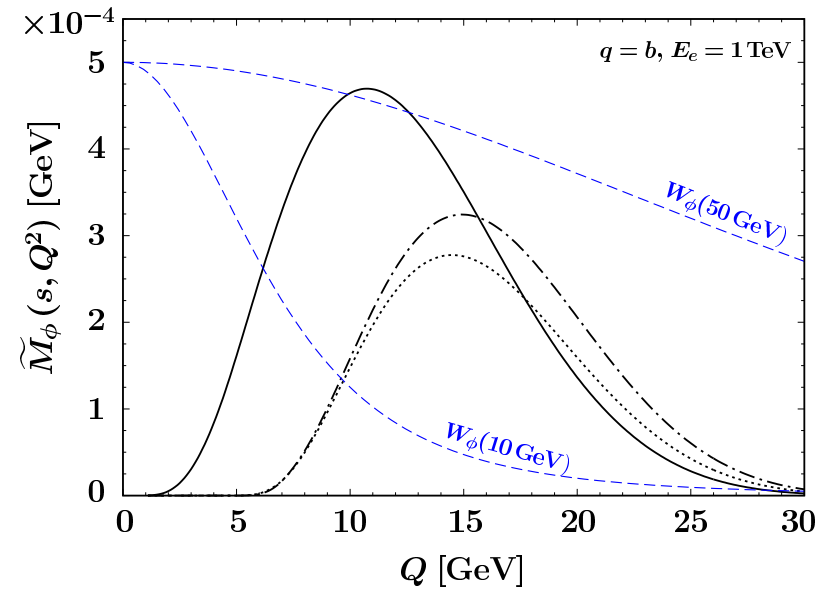
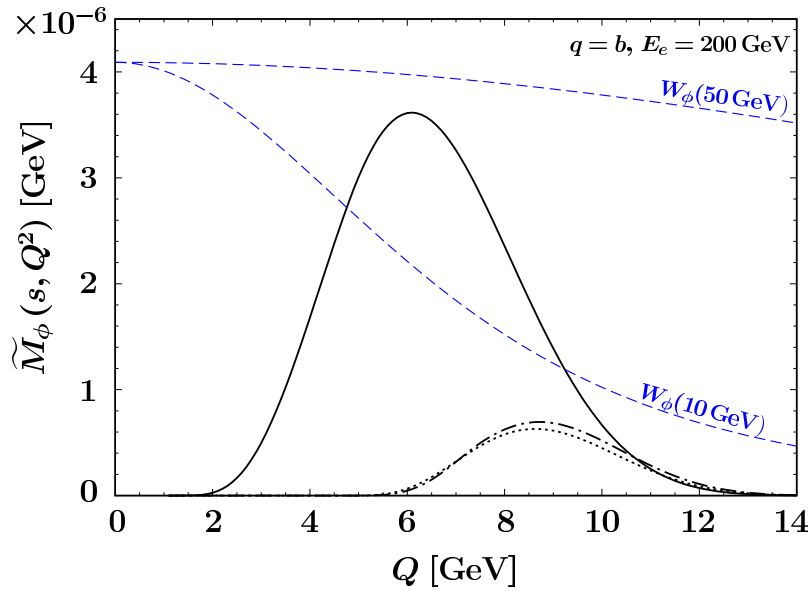


$$\frac{d\sigma}{dQ} = \frac{1}{m_\phi^4} W_\phi(m_\phi^2, Q^2) \tilde{M}_\phi(s, Q^2),$$

$$\tilde{M}_\phi(s, Q^2) = \frac{(Q^2)^{\frac{3}{2}} (Q^2 + m_\tau^2)}{8\pi s^2} M_\phi(s, Q^2),$$

$$W_\phi(m_\phi^2, Q^2) = \left( \frac{m_\phi^2}{Q^2 + m_\phi^2} \right)^2,$$

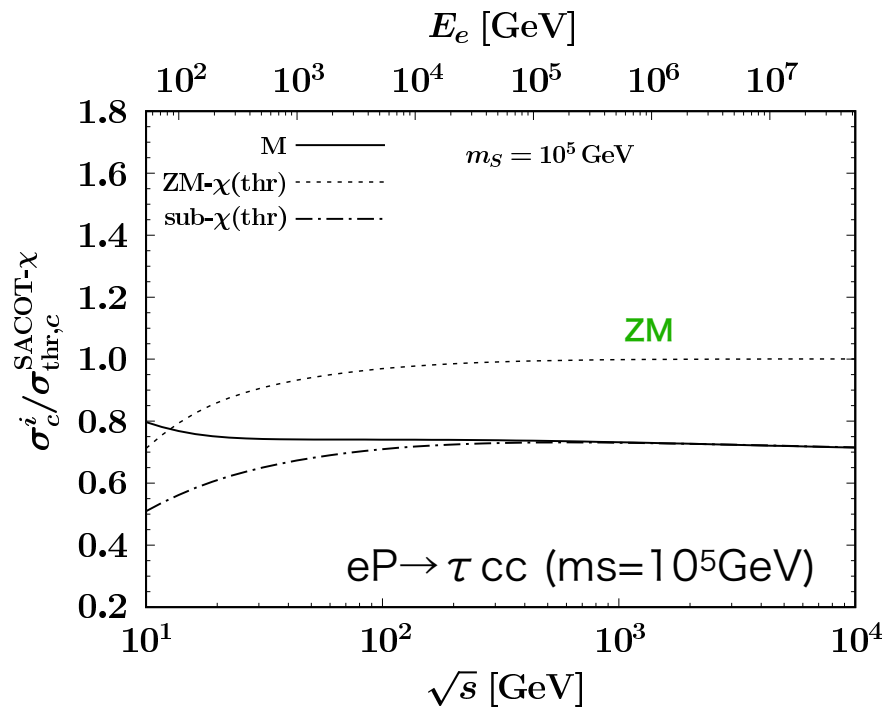
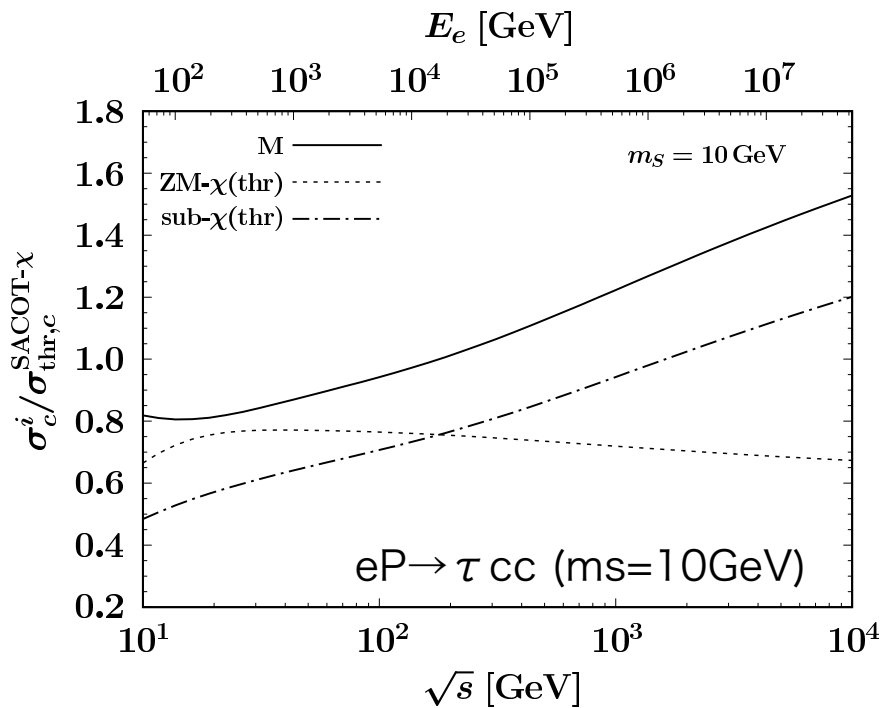
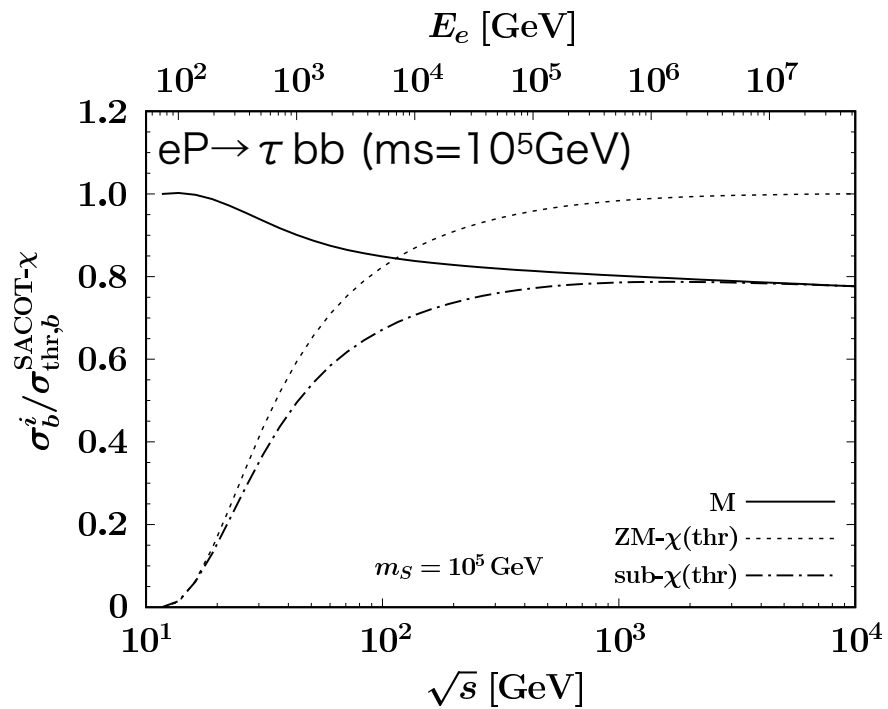
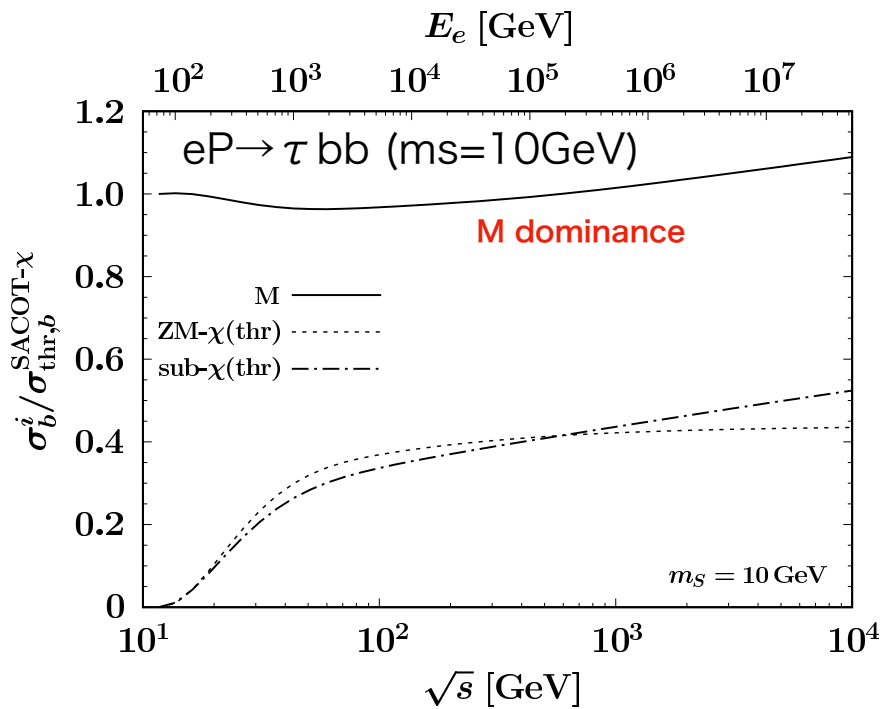
# Inverse moment func

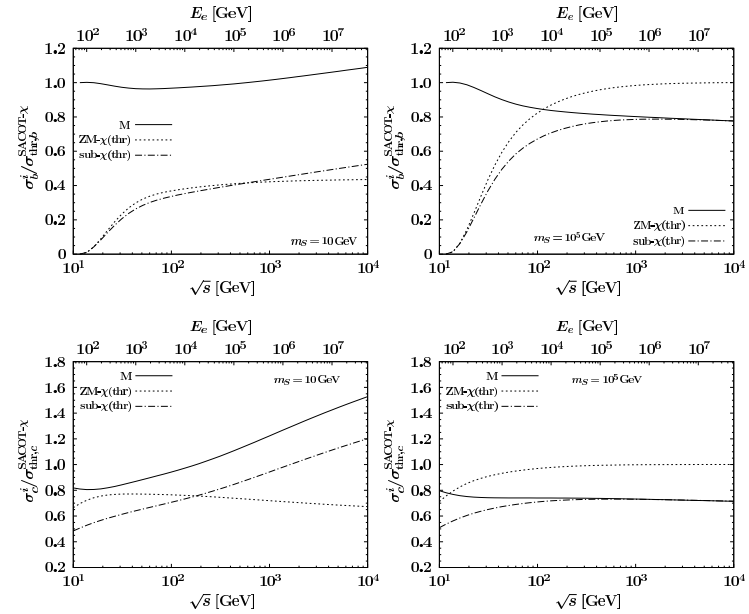
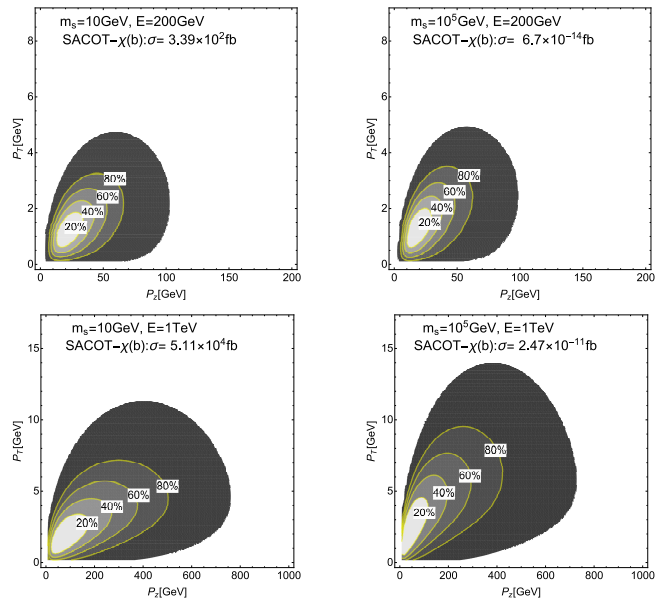


M —————

ZM- $\chi$ (thr) - - - - -

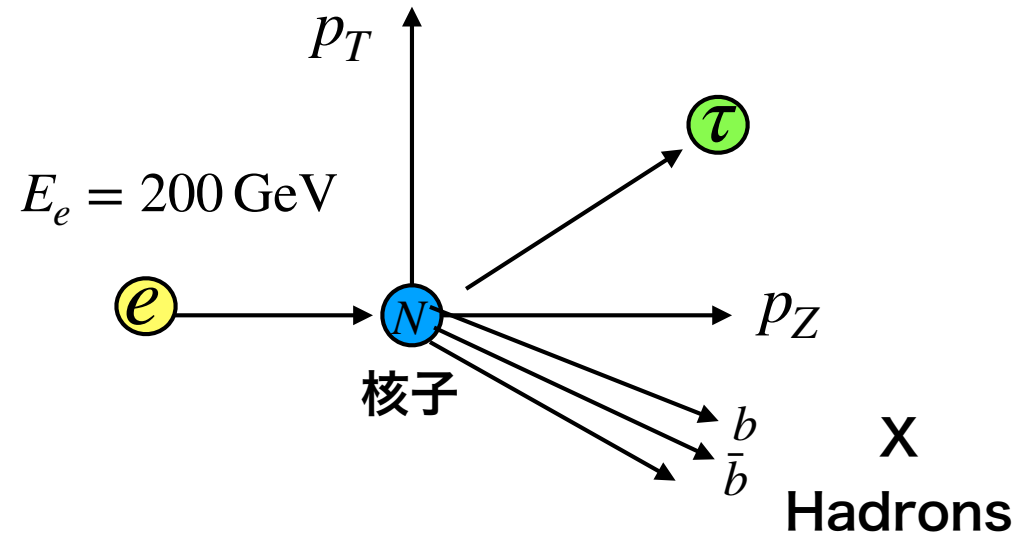
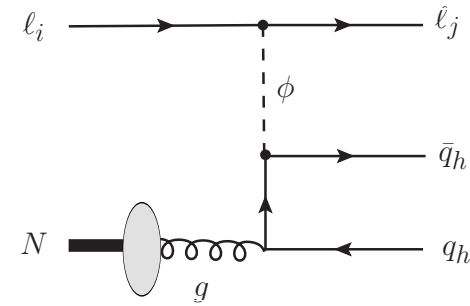
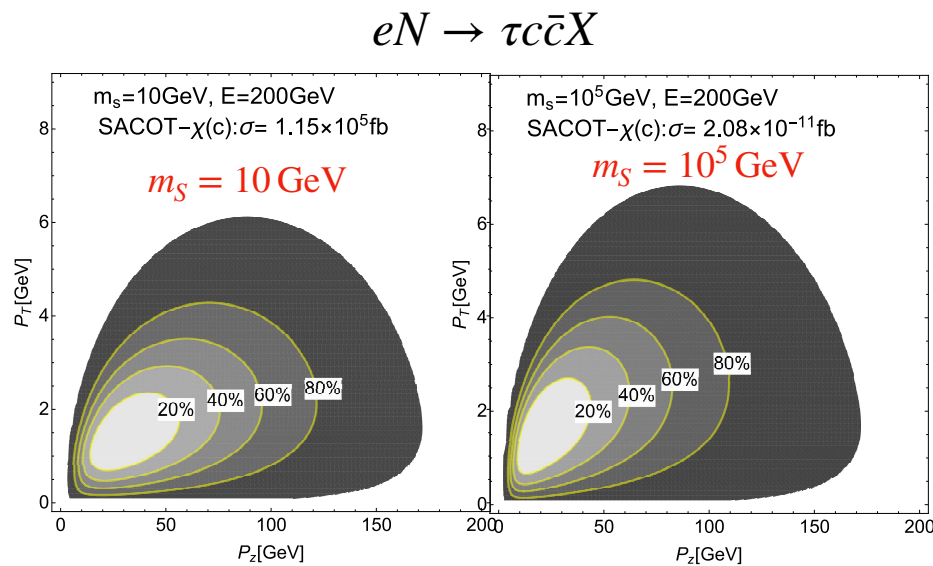
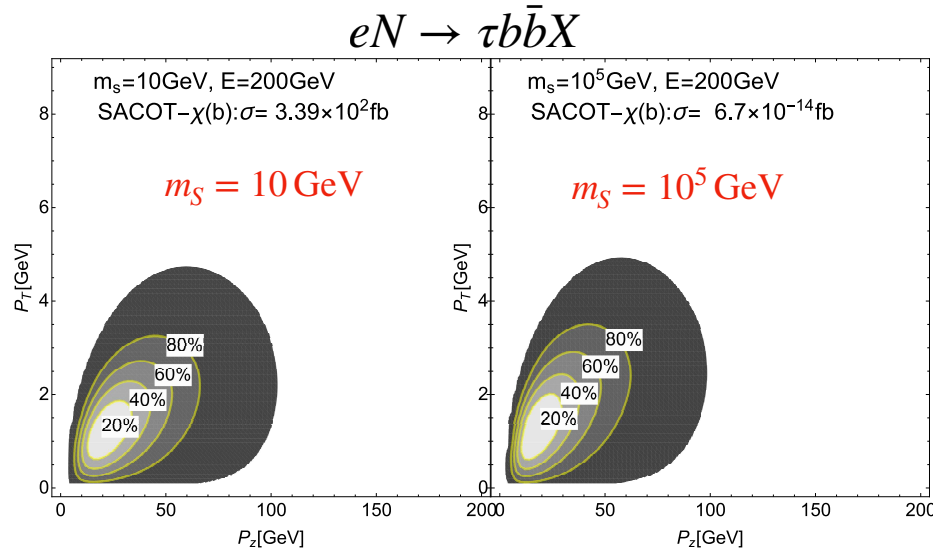
M0- $\chi$ (thr) .....





# Phenomenology

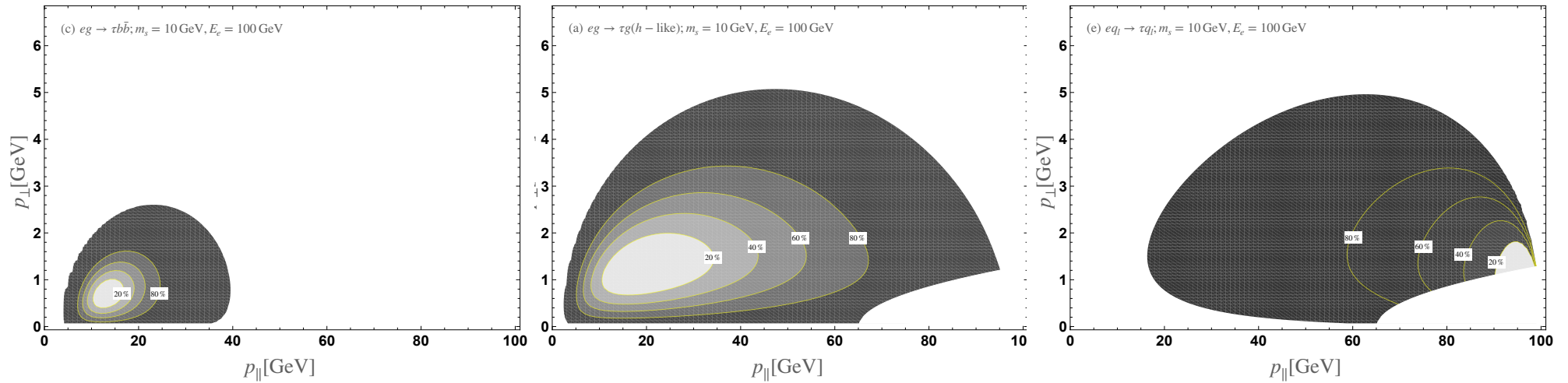
# $\tau$ の運動量分布 (固定ターゲット実験)



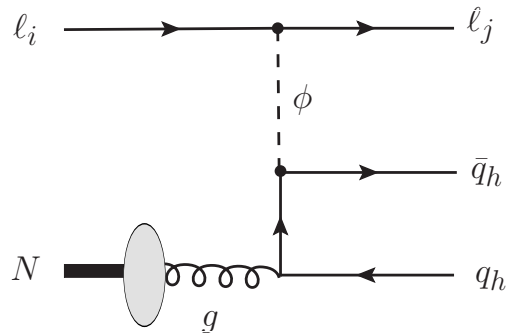
- 断面積は  $\rho_{e\tau}^2 \rho_{qq}^2 / m_S^4$  で振る舞う  
が、分布の形状はスカラー粒子の質量に感度あり

□ → ongoing work

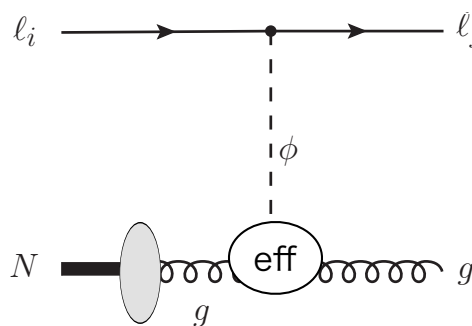
# CLFV DIS: プロセス依存性



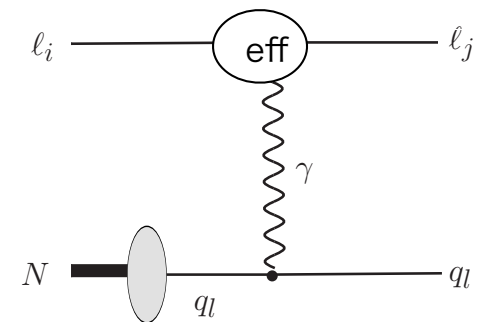
Heavy quark production



Gluon mode



Dipole mode



□  $\tau$  レプトンの運動量分布はCLFV相互作用のタイプに感度あり

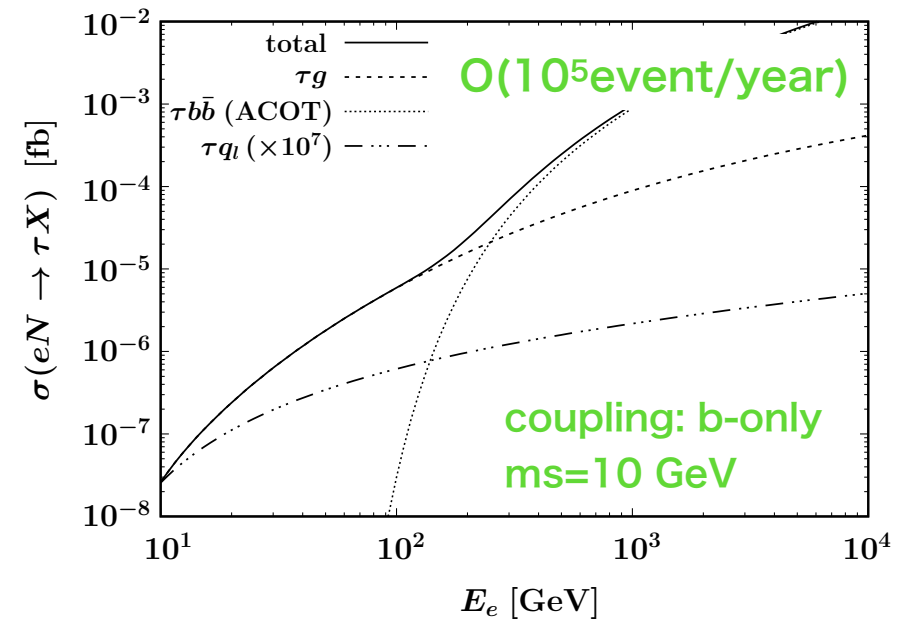
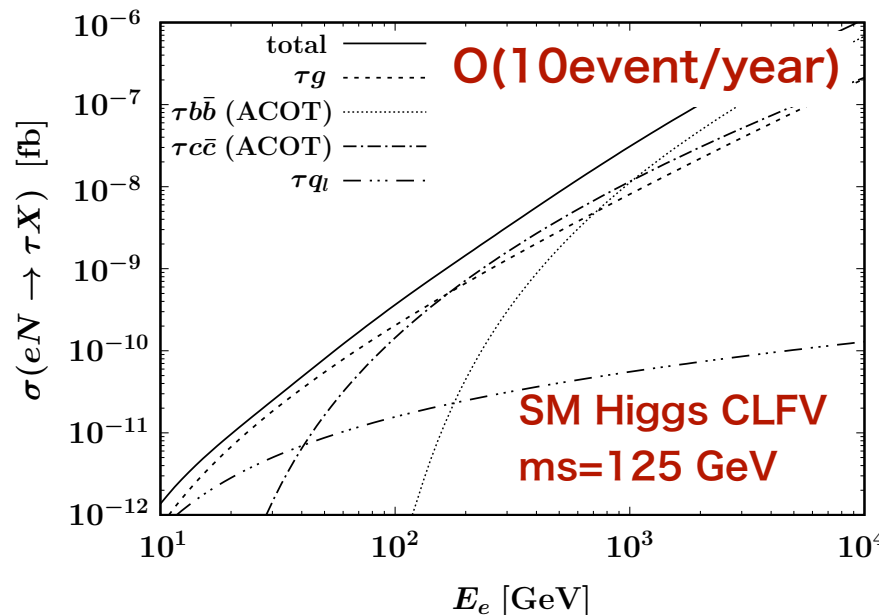
# イベント数

Example scenario@ ILC upgrade op.  $E_e=500\text{GeV}$

$$\frac{\# \text{event}}{\text{year}} \sim 6 \times 10^8 \times \left( \frac{\sigma}{1\text{fb}} \right) \quad \text{e-intensity}=10^{22}/\text{year}, \text{ target mass}=100\text{g}/\text{cm}^3$$

**Scenario I** The scalar mediator of  $m_s = 125 \text{ GeV}$  whose interaction is identical with the SM Higgs one except for the CLFV interaction. The most stringent bound on the CLFV coupling comes from the Higgs CLFV searches at the LHC,  $\bar{\rho}_{\tau e}^h < 2.0 \times 10^{-3}$  [61], as seen in Table II, which in turn induces the bound on the dipole coupling,  $\bar{D}_{\tau e} < 1.0 \times 10^{-8}$ , which is stronger than the direct bound seen in Table III.

**Scenario II** The scalar mediator couples with  $b$  quark only and  $m_s = 10 \text{ GeV}$ . The most stringent bound on the combination  $|\rho_{bb}^S| \bar{\rho}_{\tau e}^S$  comes from the search for a CLFV decay  $\tau \rightarrow e\pi^+\pi^-$ , and  $|\rho_{bb}^S| \bar{\rho}_{\tau e}^S < 1.3 \times 10^{-4}$  [58, 64], which in turn induces the bound on the dipole coupling,  $\bar{D}_{\tau e} < 6.9 \times 10^{-10}$ .



# サマリー

- ヘビークォークに強くカップルするCLFV・スカラー相互作用のモデルを調べた
- ヘビークォークの質量効果をシステマティックに取り入れた**ACOTスキームはCLFV DISにおいて特にパワフル**である。
- コライダー実験におけるCLFV探索は、稀崩壊実験と相補的である：  
CLFV DIS( $eN \rightarrow \tau X$ )における**終状態 $\tau$ レプトンの運動量分布の解析はCLFV相互作用/スカラー質量の詳細を解き明かすのに重要**である。  
  
→トークでは、プレリミナリーな結果も発表したけど、サブプロセスのフルアナリシスは現在進行中です



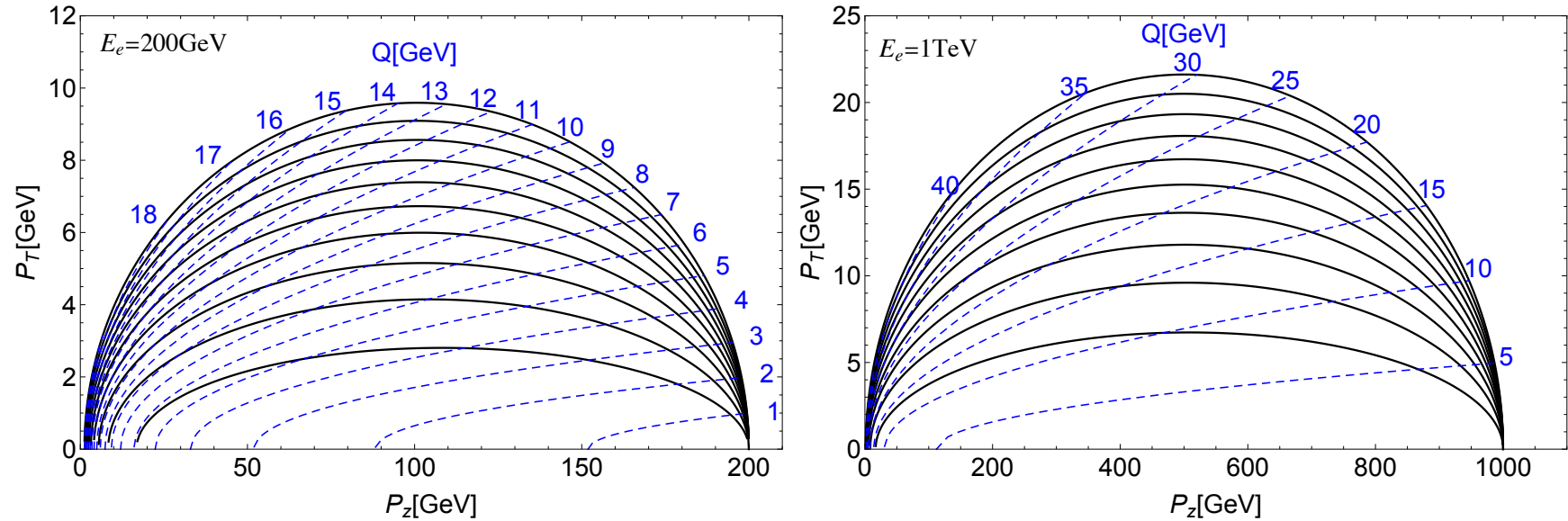
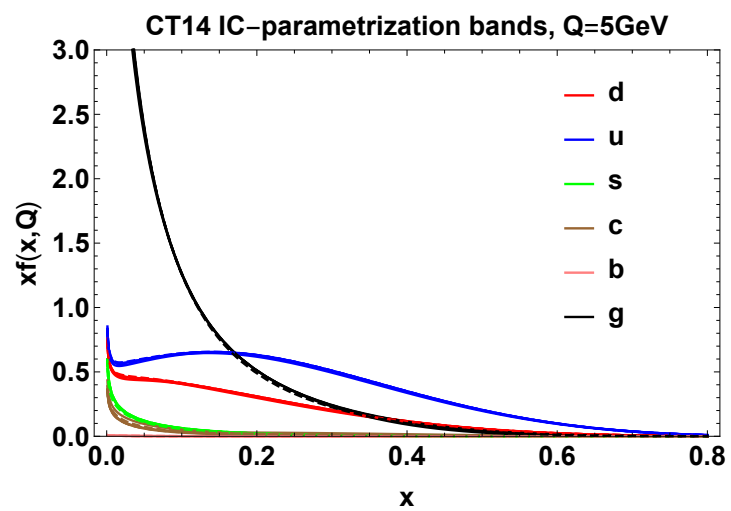
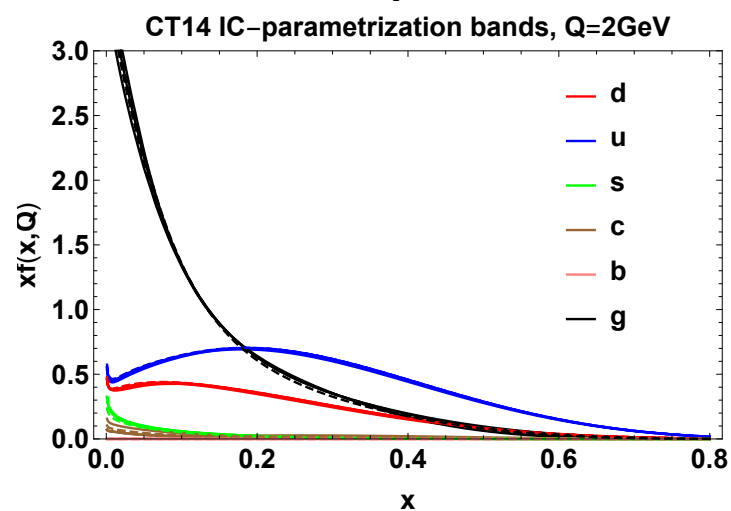
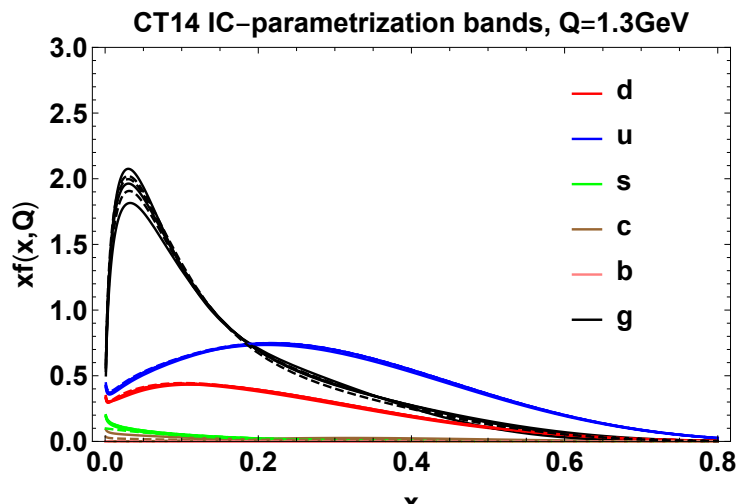


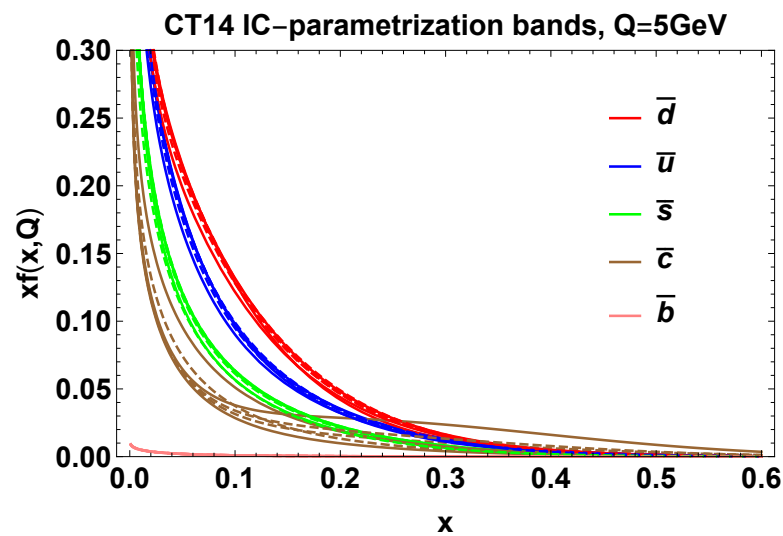
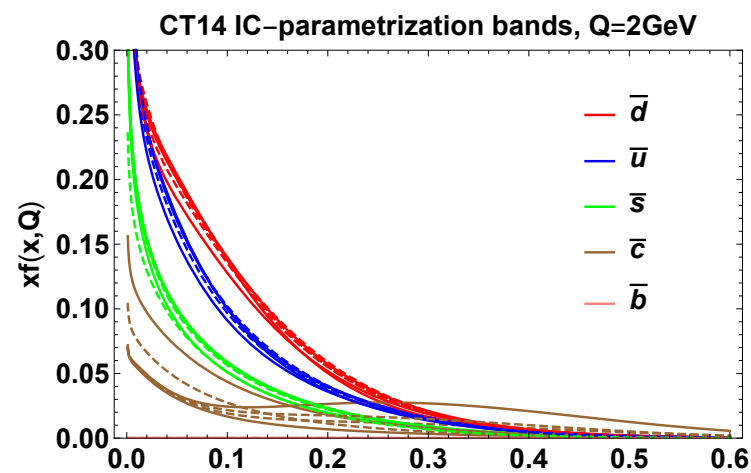
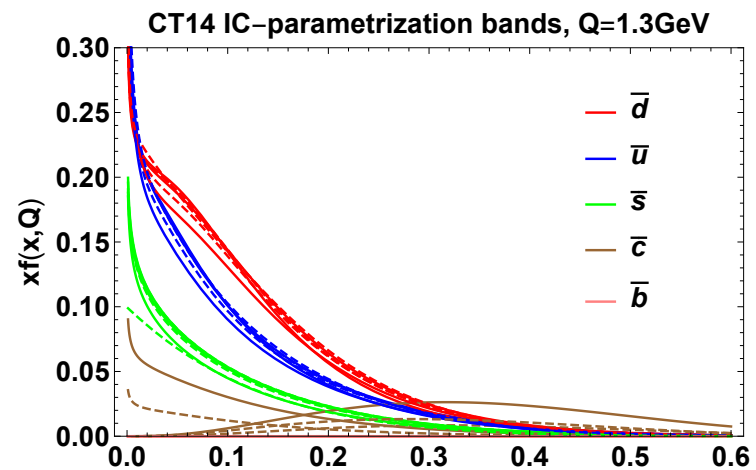
FIG. 2: The physical region of the  $\tau$ -momentum for the process  $eN \rightarrow \tau X$  in a fixed target experiment. The electron beam energy is  $E_e = 200 \text{ GeV}$  (left panel) /  $1 \text{ TeV}$  (right panel). The contour lines of fixed  $x$  (black lines) and fixed  $Q$  (dashed blue lines) are plotted in the momentum space  $(p_z, p_T)$ .

# Backup

# Quarks



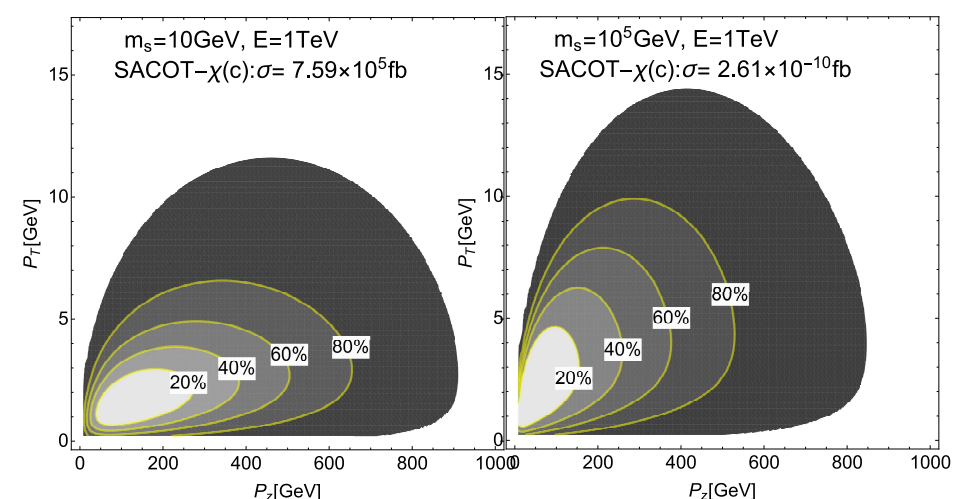
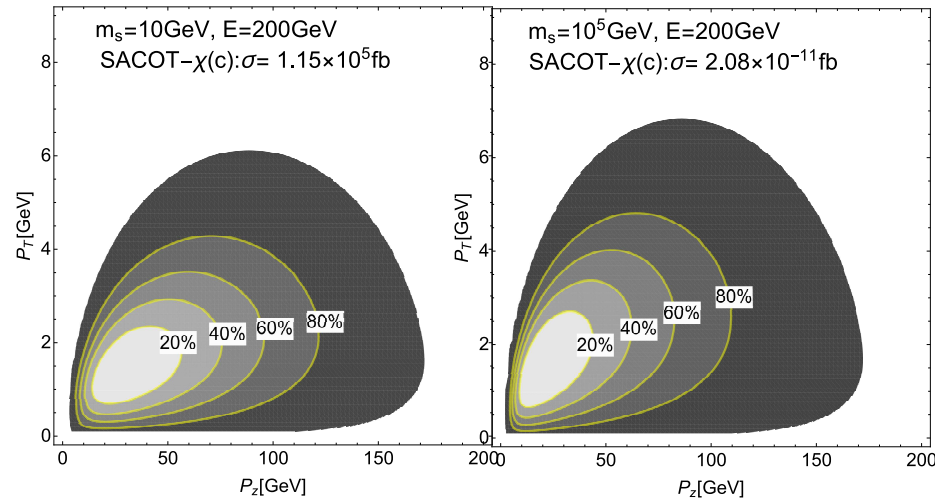
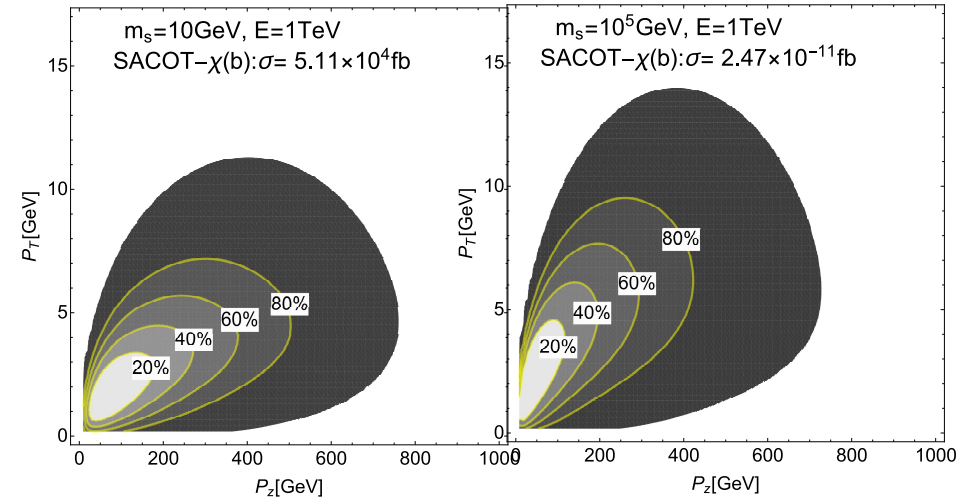
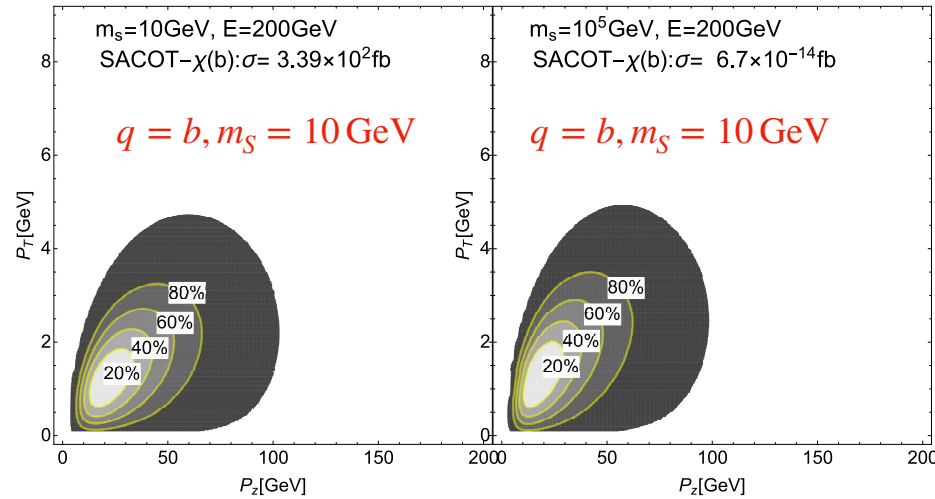
# Sea Quarks



# $\tau$ の運動量分布 ( $eP \rightarrow \tau bbX$ )

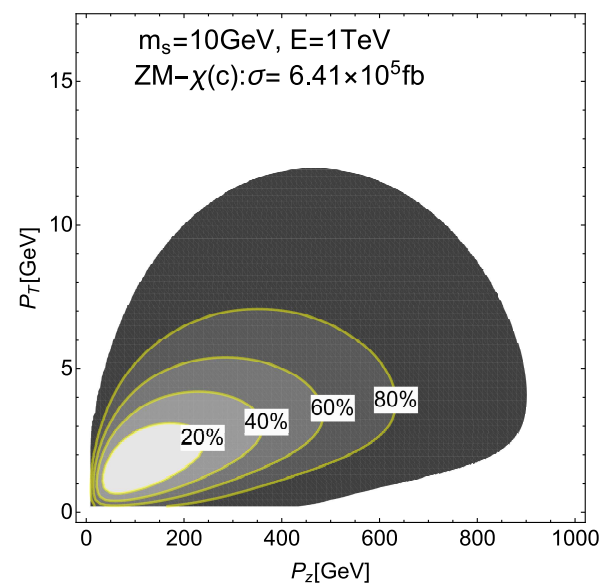
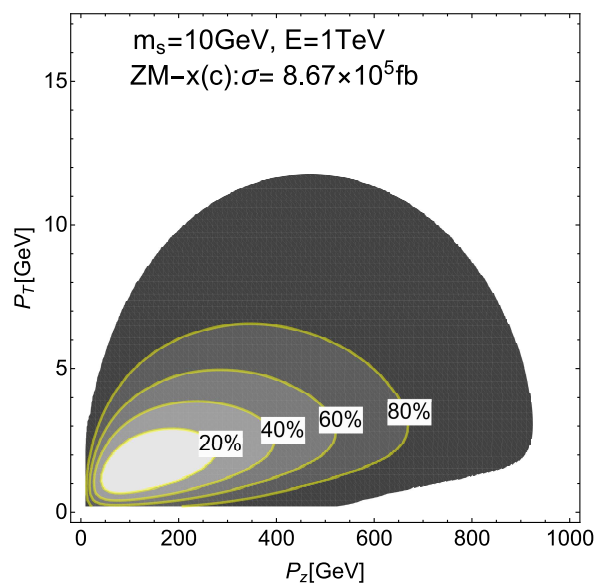
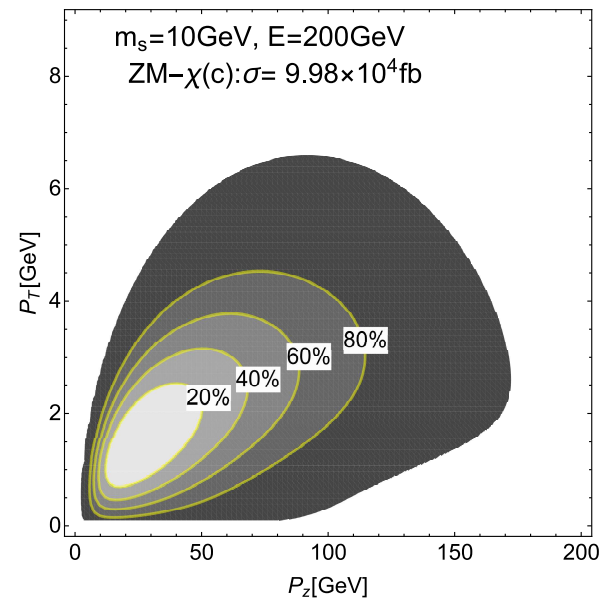
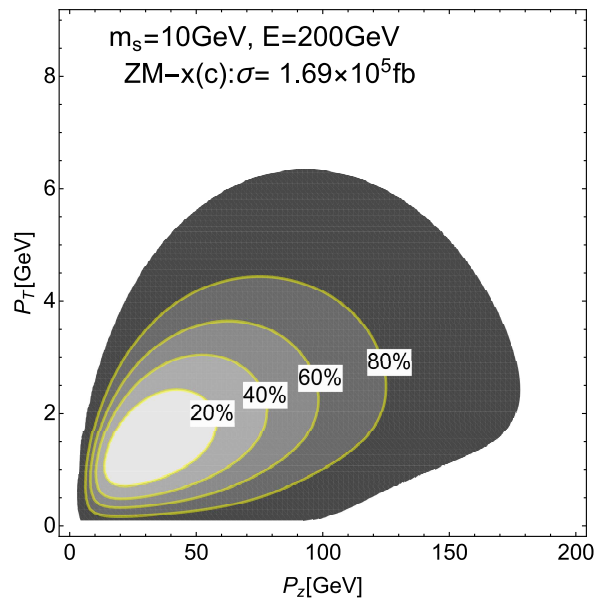
$E_e = 200 \text{ GeV}$

$E_e = 1 \text{ TeV}$



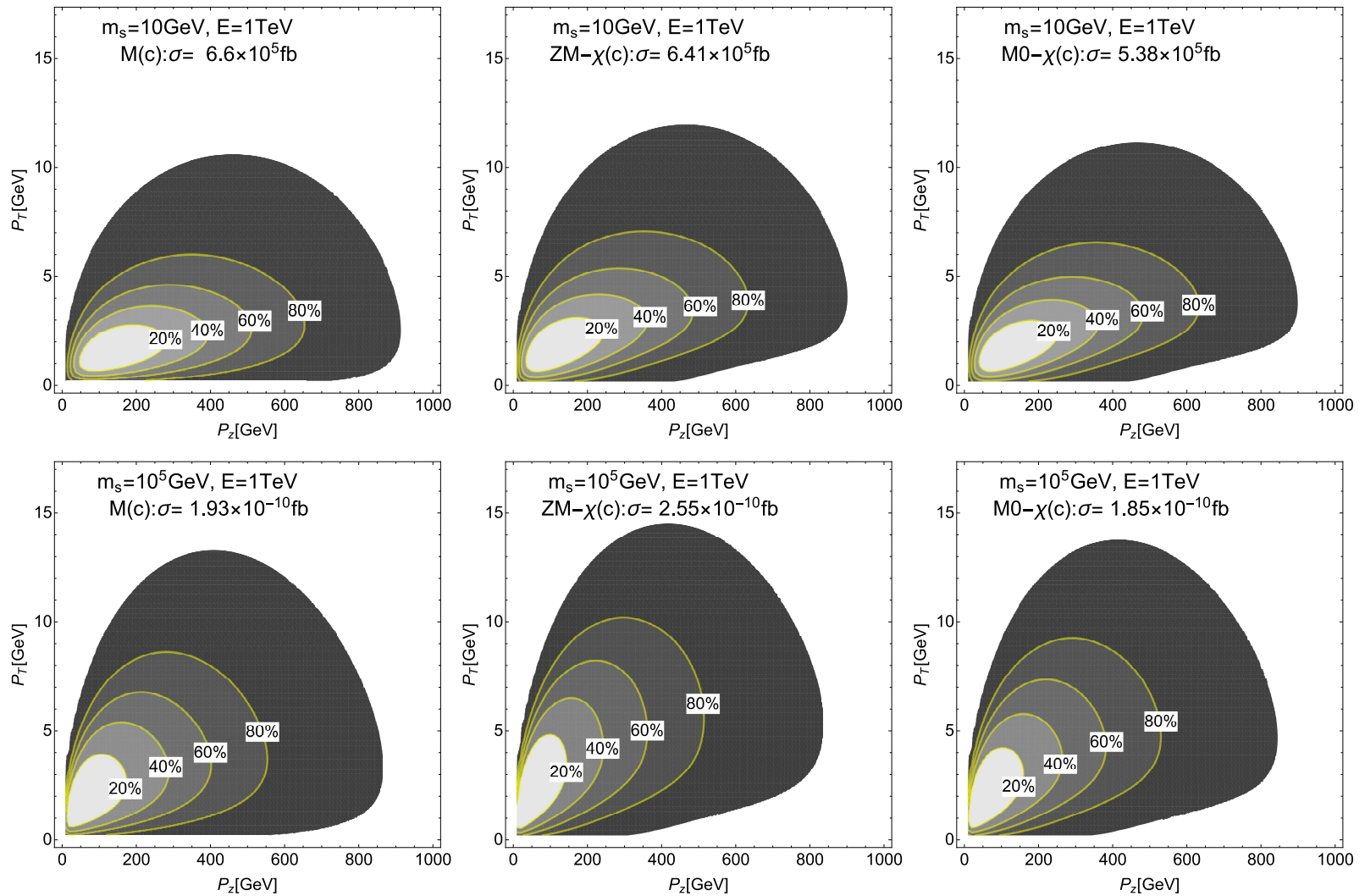
# 運動量分布 (ZM schemes)

$eP \rightarrow \tau(p)cc$  の  $\tau$ -momentum 分布



# $eP \rightarrow \tau cc(M/ZM/\text{sub})$

$E_e=1\text{TeV}$ ,  $m_s=10/10^5\text{GeV}$



# $eP \rightarrow \tau cc(\text{ACOT})$

ACOT:  $E_e, m_s$  の変化

